

用散粒噪声测量碳纳米管中 Luttinger 参数^{*}

张志勇 王太宏

(中国科学院物理研究所, 北京 100080)

(2003 年 3 月 28 日收到, 2003 年 5 月 20 日收到修改稿)

将碳纳米管的载流子输运用基本电荷为 ge 的 Fermi 液态模型描述, 利用散射理论计算出纳米管中的零频率散粒噪声, 在绝对零度下, 存在一个强势垒的碳纳米管的散粒噪声为 $2geI$. 提出了一种测试纳米管 Luttinger 参数的新方法: 在纳米管上形成一个强势垒, 通过测试其散粒噪声, 就可以计算出 g 因子.

关键词: 碳纳米管, Luttinger 参数, 散粒噪声, 散射理论

PACC: 8160C, 7290, 7270, 7210

1. 引言

碳纳米管具有优良的电特性, 是一种比较理想的一维导体或者半导体, 已经被用来制作场效应晶体管、单电子晶体管和整流二极管等多种电子器件. 在普通的二维和三维导体中, 库仑作用不会明显改变 Fermi 能级附近的载流子能态密度, 导体中的电子输运可以用 Fermi 液体模型来描述. 然而在一维导体中, 即便是很弱的库仑相互作用, 也能引起 Fermi 能级附近的载流子能态密度的改变. 单壁和多壁碳纳米管中电子-电子间有着很强的相互作用, 因此都可以用 Luttinger 液体(LL)模型来描述其电输运^[1-3].

在 LL 模型中, 电子间的相互作用使得单个电子等效电量不再是基本电荷 e , 而是 $e^* = ge$, g 就是 Luttinger 参数, 或称 Luttinger g 因子. 它描述了 LL 系统中电子-电子间相互作用的大小程度, 当 $g = 1$ 时, 就表明电子-电子间没有相互作用力, 而当 $g < 1$ 时, 说明粒子之间是排斥作用. LL 模型中的 g 因子由(1)式给出^[1],

$$g = \left[1 + \frac{2U}{\Delta} \right]^{-1/2}, \quad (1)$$

其中 U 为一维导体的充电能, Δ 为单个粒子能级间隔. 在单壁碳纳米管中, 估算 $U/\Delta \approx 6$, 从而得出 Luttinger 参数 $g = 0.28$.

Luttinger 参数在碳纳米管中是一个非常重要的

参数, 它反映了碳纳米管中重要的微观特征. 人们观察到纳米管中的幂次方变化规律, 从而推出了纳米管的电子输运符合 LL 模型, 并且由此幂指数 α 求出 g 因子^[1]. 如果能够用另外一种实验方法测试出该参数, 并且该参数与(1)式相符, 那么对碳纳米管中 LL 模型就形成了一种自洽. 散粒噪声正好能够反映导体的一些本质特征, 例如载流子间的相互作用, 导体中载流子的相互作用会影响散粒噪声的大小, 而 g 因子正好反映了载流子间的相互作用, 因此, 可以考虑通过测试散粒噪声来测试碳纳米管中的 g 因子.

当然, 要达此目的, 首先要找出散粒噪声与 g 因子之间的关系, 这就需要计算纳米管中的散粒噪声. 由于纳米管为强相关系统, 一般认为, 传统的 Landaur 散射方法已经对此无能为力, Kane 和 Fisher 用玻色子化方法计算了 LL 中的散粒噪声^[4], 但是这种方法非常复杂. 我们采取适当的处理后, 采用传统的散射理论计算了一维 LL 中的散粒噪声, 得到了与文献[4]相同的结果.

2. 碳纳米管中的散粒噪声

LL 系统中由于存在电子-电子相互作用, 计算时必须考虑一个多体系统, 从而使求解变得极其困难. 但是, 这种电子-电子间相互作用的结果, 就是使得 LL 系统中的电子以电量 e^* 输运, 即系统可

^{*} 国家重点基础研究专项基金(批准号: G2001CB3095)和国家自然科学基金(批准号: 69925410 和 60236010)资助的课题.

以等效成为基本电荷为 e^* 电子-电子间无相互作用的系统^[5](Fermi 液体系统),这里 e^* 直接由 Luttinger g 因子决定.

$$e^* = ge, \quad (2)$$

其中 e 为基本电荷.这样就可以利用适用于无电子-电子间相互作用系统的散射理论来计算纳米管中的散粒噪声.

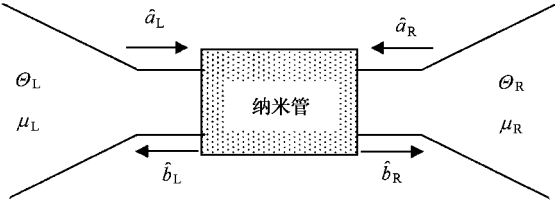


图1 纳米管的两端散射系统示意图

如图1所示,假设纳米管的左右两个电极分别由温度 $\Theta_{L,R}$ 和化学势 $\mu_{L,R}$ 表征,其两端的 Fermi 分布函数为

$$f_L(E) = \frac{1}{1 + \exp[(E - \mu_L)/k_B \Theta_L]}, \quad (3a)$$

$$f_R(E) = \frac{1}{1 + \exp[(E - \mu_R)/k_B \Theta_R]}, \quad (3b)$$

其中 k_B 为 Boltzmann 常数.假设纳米管左右电极完全相同,当在纳米管两电极之间施加电压 V 时,满足 $\mu_R = \mu_L + eV$.

这里引入入射态产生和湮没算符: $\hat{a}_{L_n}^+(E)$ 和 $\hat{a}_{L_n}(E)$,它们分别在左边进入的第 n 个传输通道产生和湮没一个能量为 E 的电子,并且它们之间遵守反对易关系.

$$\hat{a}_{L_n}^+(E) \hat{a}_{L_n'}(E') + \hat{a}_{L_n'}(E') \hat{a}_{L_n}^+(E) = \delta_{nn'} \delta(E - E'), \quad (4a)$$

$$\hat{a}_{L_n}(E) \hat{a}_{L_n'}(E') + \hat{a}_{L_n'}(E') \hat{a}_{L_n}(E) = 0, \quad (4b)$$

$$\hat{a}_{L_n}^+(E) \hat{a}_{L_n'}^+(E') + \hat{a}_{L_n'}^+(E') \hat{a}_{L_n}^+(E) = 0. \quad (4c)$$

同样,也引入出射态的产生和湮没算符: $\hat{b}_{R_n}^+(E)$ 和 $\hat{b}_{R_n}(E)$,它们分别在右边射出的第 n 个传输通道产生和湮没一个能量为 E 的电子,并且它们之间也遵守反对易关系.

引入的碳纳米管右边的二次量子化算符也相同,即 $\hat{a}_{R_n}^+(E)$, $\hat{a}_{R_n}(E)$, $\hat{b}_{R_n}^+(E)$ 和 $\hat{b}_{R_n}(E)$,这两组算符每组也都遵守反对易关系.

算符 \hat{a} 和 \hat{b} 通过散射矩阵 S 联系,

$$\begin{pmatrix} \hat{b}_{L1} \\ \hat{b}_{L2} \\ \hat{b}_{R1} \\ \hat{b}_{R2} \end{pmatrix} = S \begin{pmatrix} \hat{a}_{L1} \\ \hat{a}_{L2} \\ \hat{a}_{R1} \\ \hat{a}_{R2} \end{pmatrix}, \quad (5)$$

算符 \hat{a}^+ 和 \hat{b}^+ 通过矩阵 S 的转置矩阵 S^+ 联系.

这里假设纳米管的两端都具有 N 个输运通道,那么 S 就是一个 $2N \times 2N$ 维矩阵.矩阵 S 可以写为

$$S = \begin{pmatrix} r & t' \\ t & r' \end{pmatrix}, \quad (6)$$

其中对角线上的子矩阵 r 和 r' 都是 $N \times N$ 维矩阵,分别描述电子被反射到左边和右边电极,而反对角线上的子矩阵 t 和 t' 也是 $N \times N$ 维矩阵,分别描述电子被传输到左边和右边电极.

对于两端器件,其左右两边的电流必须相同,因此只用考虑一端的情况.纳米管左边电流算符可表示为

$$\hat{I}_L(z, t) = \frac{\hbar e^*}{2im} \int dr_{\perp} \left[\hat{\Psi}_L^+(r_{\perp}, t) \frac{\partial}{\partial z} \hat{\Psi}_L(r_{\perp}, t) - \left(\frac{\partial}{\partial z} \hat{\Psi}_L^+(r_{\perp}, t) \right) \hat{\Psi}_L(r_{\perp}, t) \right], \quad (7)$$

其中 m 为纳米管中电子的质量, r_{\perp} 为垂直于纳米管方向的坐标, z 为平行于纳米管方向的坐标, $\hat{\Psi}_L(r_{\perp}, t)$ 和 $\hat{\Psi}_L^+(r_{\perp}, t)$ 分别为场算符,定义为

$$\hat{\Psi}_L(r_{\perp}, t) = \int dE e^{-iEt/\hbar} \sum_{n=1}^N \frac{\chi_{L_n}(r_{\perp})}{(2\pi\hbar v_{L_n}(E))^{1/2}} \times (\hat{a}_{L_n} e^{ik_{L_n}z} + \hat{b}_{L_n} e^{-ik_{L_n}z}),$$

$$\hat{\Psi}_L^+(r_{\perp}, t) = \int dE e^{iEt/\hbar} \sum_{n=1}^N \frac{\chi_{L_n}^*(r_{\perp})}{(2\pi\hbar v_{L_n}(E))^{1/2}} \times (\hat{a}_{L_n}^+ e^{-ik_{L_n}z} + \hat{b}_{L_n}^+ e^{ik_{L_n}z}),$$

其中 $\chi_{L_n}(r_{\perp})$ 为横向(垂直于纳米管方向)波函数, $k_{L_n} = \frac{1}{\hbar} \sqrt{2m(E - E_{L_n})}$ 和 $v_{L_n}(E) = \hbar k_{L_n}/m$ 分别为第 n 个传输通道的波矢和载流子速度.

(7)式可以转化为

$$\begin{aligned} \hat{I}_L(z, t) &= \frac{e^*}{4\pi\hbar} \sum_n \int dE dE' e^{(E-E')t/\hbar} \\ &\times \frac{1}{\sqrt{v_{L_n}(E)v_{L_n}(E')}} \times \{ v_{L_n}(E) + v_{L_n}(E') \} \\ &\times [e^{(k_{L_n}(E') - k_{L_n}(E))z} \hat{a}_{L_n}^+(E) \hat{a}_{L_n}(E') \\ &- e^{(k_{L_n}(E) - k_{L_n}(E'))z} \hat{b}_{L_n}^+(E) \hat{b}_{L_n}(E')] \end{aligned}$$

$$+ [v_{L\alpha}(E) - v_{L\alpha}(E')] \times [e^{-k_{L\alpha}(E) + k_{L\alpha}(E')} \hat{a}_{L\alpha}^+(E) \hat{b}_{L\alpha}^+(E') - e^{k_{L\alpha}(E) + k_{L\alpha}(E')} \hat{b}_{L\alpha}^+(E) \hat{a}_{L\alpha}^+(E')]. \quad (8)$$

假设纳米管是均匀的,即沿着纳米管的方向所有物理量都相同,这样就可以忽略坐标 z ;对于可观测量(平均电流、噪声等)能量 E 和 E' 要么相同,要么非常接近,而且在 Fermi 面表面,速度随能量 E 的变化非常慢,因此可以忽略它们对能量的依赖关系.考虑到这些假设(8)式可以简化为

$$\hat{I}_L(t) = \frac{e^*}{2\pi\hbar} \sum_n \int dE dE' e^{i(E-E')t/\hbar} \times [\hat{a}_{L\alpha}^+(E) \hat{a}_{L\alpha}(E') - \hat{b}_{L\alpha}^+(E) \hat{b}_{L\alpha}(E')]. \quad (9)$$

利用散射矩阵 S ,可以只用算符 \hat{a} 和 \hat{a}^+ 来表示电流.

$$\hat{I}_L(t) = \frac{e^*}{2\pi\hbar} \sum_{\alpha\beta} \sum_{mn} \int dE dE' e^{i(E-E')t/\hbar} \times \hat{a}_{\alpha m}^+(E) A_{\alpha\beta}^{nm}(L;E,E') \hat{a}_{\beta n}(E') \quad (10)$$

其中 α 和 β 为纳米管的两端,即 L 和 R;矩阵 A 定义为

$$A_{\alpha\beta}^{nm}(L;E,E') = \delta_{mn} \delta_{\alpha L} \delta_{\beta L} - \sum_k s_{La, mk}^+(E) s_{L\beta, kn}(E').$$

在热平衡状态下, Fermi 系统的产生算符和湮没算符之积的量子统计平均可以写为

$$\langle \hat{a}_{\alpha m}^+(E) \hat{a}_{\beta n}(E') \rangle = \delta_{\alpha\beta} \delta_{mn} \delta(E-E') f_{\alpha}(E). \quad (11)$$

考虑到散射矩阵 S 的么正性,并且由(10)和(11)式,可得到电流的平均值

$$\langle \hat{I} \rangle = \frac{e^*}{2\pi\hbar} \int dE T [t^+(E) \delta(E) [f_L(E) - f_R(E)]], \quad (12)$$

其中矩阵 $t^+ t$ 可以对角化,它的本征值 $T_n(E)$ 表示通道 n 的传导概率,其范围在 0 和 1 之间.这样(12)式就可以简化为

$$\langle \hat{I} \rangle = \frac{e^*}{2\pi\hbar} \int dE \sum_n T_n(E) [f_L(E) - f_R(E)]. \quad (13)$$

纳米管的电流噪声功率可以写成

$$S(\omega) = S_{LL}(\omega) = 2 \int dt e^{i\omega t} \langle (\Delta \hat{I}(t))^2 \rangle, \quad (14)$$

其中

$$\Delta \hat{I}(t) = \hat{I}_L(t) - \langle \hat{I} \rangle.$$

利用在平衡 Fermi 系统中存在等式

$$\langle \hat{a}_{\alpha k}^+(E) \hat{a}_{\beta l}(E') \hat{a}_{\gamma m}^+(E'') \hat{a}_{\eta n}(E''') \rangle$$

$$= \langle \hat{a}_{\alpha k}^+(E) \hat{a}_{\beta l}(E') \rangle \langle \hat{a}_{\gamma m}^+(E'') \hat{a}_{\eta n}(E''') \rangle = \delta_{\alpha\gamma} \delta_{\beta\eta} \delta_{kl} \delta_{mn} \delta(E-E'') \delta(E'-E''') \times f_{\alpha}(E') [1 \mp f_{\beta}(E')], \quad (15)$$

通过(10)(13)和(14)式,可以得到碳纳米管中本征噪声功率的表达式

$$S(\omega) = \frac{(e^*)^2}{2\pi\hbar} \sum_{\alpha\beta} \sum_{mn} dE A_{\alpha\beta}^{nm}(L;E,E' + \hbar\omega) A_{\alpha\beta}^{nm}(L;E,E' + \hbar\omega) \times \{f_{\alpha}(E) [1 \mp f_{\beta}(E + \hbar\omega)] + [1 \mp f_{\alpha}(E)] f_{\beta}(E + \hbar\omega)\}, \quad (16)$$

其中的噪声既包括热噪声,也包括散粒噪声,温度 $\Theta = 0$ 时,由于载流子没有热运动,因此热噪声为零,此时的本征噪声完全为散粒噪声.在频率 $\omega = 0$,并且考虑到矩阵 S 的么正性,即 $r^+ r + t^+ t = 1$, (16)式可以简化为

$$S(0) = \frac{(e^*)^2 e |V|}{2\pi\hbar} \sum_n T_n (1 - T_n) = \frac{g^2 e^3 |V|}{\pi\hbar} \sum_n T_n (1 - T_n). \quad (17)$$

由于在碳纳米管中电子为弹道输运,即满足 $T_n = 1$,那么通过(17)式可以知道 $S(0) = 0$,可见理想的碳纳米管中没有散粒噪声.

当纳米管中存在一个强势垒时,即满足 $T_n \ll 1$ 时, $1 - T_n \approx 1$ (17)式可以简化为

$$S(0) = \frac{g^2 e^3 |V|}{\pi\hbar} \sum_n T_n. \quad (18)$$

$G = \frac{ge^2}{2\pi\hbar} \sum_n T_n$ 为纳米管的电导,因此绝对零度下具有一个强势垒的纳米管的直流散粒噪声功率为

$$S_L(0) = 2geG |V| = 2geI. \quad (19)$$

3. g 因子测试方法

(19)式提供了测试碳纳米管中 g 因子的方法:构造一个强势垒,通过测量散粒噪声功率和电流大小,就可以计算出 g 因子.

为了减少衬底背景电荷引起的低频噪声对测试结果的影响,本文采用悬空的纳米管.首先在衬底上做好两个电极,然后用 AFM 方法将单壁碳纳米管移动到电极上面去,通过退火,减小纳米管和金属电极之间的接触电阻,从而也减小了两者之间的势垒.在两个电极之间施加电流偏置,电流大小为 I ,利用测量系统测出此时的散粒噪声能谱密度 S_1 ,对于理想

的碳纳米管,其散粒噪声为零,但是实际的纳米管中,总会存在杂质或者缺陷,这些杂质和缺陷会产生势垒,因此就会产生散粒噪声,而纳米管中的杂质和缺陷无法控制,因此不能通过它们产生的散粒噪声

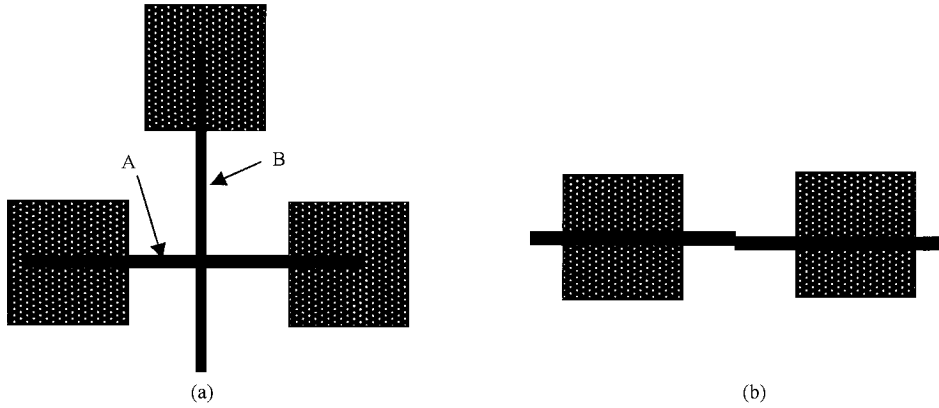


图 2 在待测碳纳米管上形成强势垒 (a) 利用另外一个纳米管 (b) 用 AFM 在纳米管形成一个结

将另外一根纳米管 B 移动到原先的纳米管 A 上,并与 A 交叉(如图 2(a)所示),在纳米管 B 上加电压,就会耗尽纳米管 A 中交点处的载流子,从而在纳米管 A 上形成一个势垒.或者直接通过 AFM 操作,在纳米管上形成一个结(如图 2(b)所示).这样纳米管上形成了一个势垒,电子通过隧穿跃过势垒,满足 $T_n \ll 1$. 同样施加电流偏置 I ,测出此时的散粒噪声 S_2 , S_2 不仅包括隧穿此强势垒产生的散粒噪声,也包括上次测到的纳米管内杂质和缺陷产生的散粒噪声、纳米管-金属电极接触产生的散粒噪声,因此隧穿强势垒结构产生的散粒噪声 S 由下式给出:

$$S = S_2 - S_1. \quad (20)$$

通过(19)式,就可以计算出 Luttinger g 因子.

热噪声和散粒噪声都是器件的本征噪声,由于热噪声与温度成正比,高温下无法将热噪声与散粒噪声分离出来,因此整个测量需要在低温下进行,虽然(19)式理论上是在绝对零度下得出的,但是实际上不可能实现绝对零度,因此只能在液氦温度下,此时热噪声远小于散粒噪声,可以忽略不计,其结果已

来计算 g 因子,而且纳米管和金属电极的接触也会存在势垒,从而也产生散粒噪声. S_1 就是这两种散粒噪声之和.

经接近绝对零度时.另外,由于实际纳米管总会存在电荷陷阱,再加上衬底电荷的影响,所以 $1/f$ 噪声在零频率下会很大,因此实际上不可能测出零频率下的散粒噪声.散粒噪声曾经一度被人们认为是白噪声,即与频率无关,可见其对频率的依赖性很小,所以实际测试中可以采用较高的频率,例如 $f = 100\text{MHz}$,此时 $1/f$ 噪声已经很小,可以忽略.

4. 结 论

碳纳米管中电子输运可以用 LL 模型来描述, Luttinger g 因子是一个非常重要的参数,我们将 LL 系统等效成一个基本电荷为 ge 的 Fermi 系统,利用散射方法计算了碳纳米管中的散粒噪声,对于理想的纳米管,载流子是弹道输运,没有散粒噪声;如果存在一个强势垒,那么在绝对零度下,纳米管的零频率散粒噪声为 $2geI$. 利用 AFM 在纳米管上构造一个强势垒,就可以通过测试其散粒噪声而计算出纳米管的 Luttinger g 因子.

[1] Marc B et al 1999 *Nature* **397** 598

[2] Sander J T et al 1998 *Nature* **394** 761

[3] Fakultat F P et al 1999 *Phys. Rev. Lett.* **83** 5547

[4] Kane C L and Fisher M P A 1994 *Phys. Rev. Lett.* **72** 724

[5] Pham K V, Gabay M and Lederer P 2000 *Phys. Rev. B* **61** 16397

Luttinger parameter of carbon nanotubes investigated by shot noise experiment^{*}

Zhang Zhi-Yong Wang Tai-Hong

(*Institute of Physics , Chinese Academy of Sciences , Beijing 100080 ,China*)

(Received 28 March 2003 ; revised manuscript received 20 May 2003)

Abstract

Fermi liquid model with elemental charge of e^* ($e^* = ge$) is used to describe the electrical transport in carbon nanotubes , so the scattering theory can be used to calculate the zero-frequency shot noise in nanotubes. When the temperature is 0K , the nanotube with a strong barrier has the shot noise of $2geI$. A new approach to measure the Luttinger g -factor of nanotubes is created : forming a strong barrier in nanotube , measuring its shot noise S , and then calculating the g -factor.

Keywords : carbon nanotube , Luttinger parameter , shot noise , scattering theory

PACC : 8160C , 7290 , 7270 , 7210

^{*} Project supported by the Special Foundation for State Major Basic Research Program of China (Grant No. G2001CB3095) , and the National Natural Science Foundation of China (Grant Nos. 69925410 and 60236010).